

3

Técnicas e Desempenho da Marcação D'Água Digital

Neste capítulo, as principais técnicas de marcação d'água digital são apresentadas, com maior ênfase na discussão das técnicas baseadas no espalhamento espectral (*Spread Spectrum* - SS), incluindo o desempenho das mesmas. Novas técnicas derivadas do tipo SS são propostas e os respectivos desempenhos são derivados.

3.1

Abordagem Tradicional para a Marcação Binária por Espalhamento Espectral

A marcação d'água digital binária por espalhamento espectral (SS) é ilustrada na Figura 3.1. Uma chave secreta K é utilizada por um gerador de vetores aleatórios (PRV) para produzir um vetor \mathbf{u} com energia

$$E_b = \sum_{i=1}^N u_i^2 = N\sigma_u^2. \quad (3-1)$$

Outros condicionamentos específicos podem ser considerado para o gerador PRV dependendo dos requisitos da aplicação. Em seguida, o vetor \mathbf{u} é adicionado, ou subtraído, ao sinal \mathbf{x} , de acordo como o sinal da variável $b \in \{\pm 1\}$. O sinal \mathbf{s} é o sinal marcado.

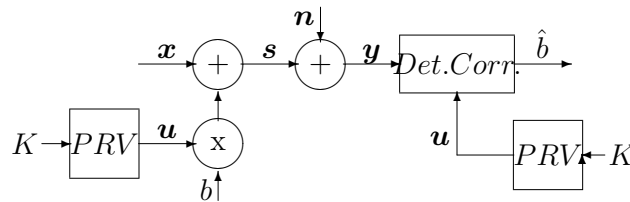


Figura 3.1: Modelo da técnica de marcação por Espalhamento Espectral.

A análise da técnica tipo SS binária conduz a uma simples expressão para a probabilidade de erro na detecção correspondendo ao desempenho da técnica. A modulação com o bit b produz o sinal marcado

$$\mathbf{s} = \mathbf{x} + b\mathbf{u} \quad (3-2)$$

com $D_b = \sigma_u^2$.

Considerando a definição de produto interno

$$\langle \mathbf{x}, \mathbf{u} \rangle = \frac{1}{N} \sum_{i=1}^N x_i u_i, \quad (3-3)$$

a detecção é realizada primeiramente calculando a estatística suficiente normalizada (detetor de correlação)

$$r = \frac{\langle \mathbf{y}, \mathbf{u} \rangle}{\sigma_u^2} = \frac{\langle b\mathbf{u} + \mathbf{x} + \mathbf{n}, \mathbf{u} \rangle}{\sigma_u^2} = b + x + n \quad (3-4)$$

onde $x = \langle \mathbf{x}, \mathbf{u} \rangle / \sigma_u^2$ e $n = \langle \mathbf{n}, \mathbf{u} \rangle / \sigma_u^2$. Repare aqui a forte interferência do hospedeiro no processo de detecção. Em seguida o bit b é estimado como

$$\hat{b} = \text{sign}(r). \quad (3-5)$$

Em nosso modelo, vamos supor que \mathbf{x} e \mathbf{n} são amostras descorrelacionadas de vetores de um processo aleatório gaussiano branco. Assim, $x_i \sim N(0, \sigma_x^2)$ e $n_i \sim N(0, \sigma_n^2)$, e é simples demonstrar que o desempenho é expresso por

$$p_e = \frac{1}{2} \text{erfc} \left(\sqrt{WNR_N/2(1 + DNR)} \right). \quad (3-6)$$

3.2

Espalhamento Espectral Otimizado

A idéia chave da modulação por espalhamento espectral otimizado (ISS), como apresentada em [9], é que através do conhecimento do sinal \mathbf{x} pelo modulador, uma grande melhora no desempenho (em relação ao SS tradicional) é obtida. Esta melhora é alcançada por meio da modulação da energia da marca d'água a fim de compensar a interferência na detecção. A

abordagem da modulação ISS é conduzida introduzindo uma pequena modificação na modulação SS tradicional, e consiste em controlar a amplitude de cada vetor \mathbf{u} , representando cada bit da marca d'água, com a função $\mu(x, b)$

$$\mathbf{s} = \mathbf{x} + \mu(x, b)\mathbf{u} \quad (3-7)$$

onde $x = \langle \mathbf{x}, \mathbf{u} \rangle / \sigma_u^2$. Assim, podemos reparar que a modulação SS tradicional é um caso particular da modulação ISS, quando a função $\mu = b$. A solução geral para determinar a função $\mu(x, b)$ ótima é discutida em [9]. Nesta tese consideraremos apenas a aproximação linear, pois além de ser bastante eficiente na melhora do desempenho, fornece expressões simples para análise. A modulação ISS linear é definida como

$$\mathbf{s} = \mathbf{x} + (\alpha b - \lambda x)\mathbf{u}. \quad (3-8)$$

Como veremos, o parâmetro α e λ controlam respectivamente, o nível de distorção, e a redução da interferência do hospedeiro na detecção. Utilizando o mesmo modelo de canal da seção anterior, a estatística suficiente normalizada do receptor é

$$r = \frac{\langle \mathbf{y}, \mathbf{u} \rangle}{\sigma_u^2} = \alpha b + (1 - \lambda)x + n. \quad (3-9)$$

Para que a distorção D_b introduzida pela modulação ISS seja a mesma daquela introduzida pela modulação SS, condiciona-se que $D_b = \sigma_u^2$, o que resulta na determinação de α como

$$\alpha = \sqrt{\frac{N\sigma_u^2 - \lambda^2\sigma_x^2}{N\sigma_u^2}}. \quad (3-10)$$

Considerando novamente $\hat{b} = \text{sign}(r)$, o desempenho do ISS linear é facilmente derivado, e é expresso por

$$p_e = \frac{1}{2} \text{erfc} \left(\sqrt{\frac{WNR_N - DNR \lambda^2}{2(1 + DNR(1 - \lambda)^2)}} \right) \quad (3-11)$$

A determinação do valor ótimo para o parâmetro λ é obtido por meio da minimização da probabilidade de erro p_e fazendo $\partial p_e / \partial \lambda = 0$, resultando em

$$\lambda_{opt} = \frac{1}{2} \left(1 + \frac{1}{DNR} + \frac{WNR_N}{DNR} - \sqrt{\left(1 + \frac{1}{DNR} + \frac{WNR_N}{DNR} \right)^2 - 4 \frac{WNR_N}{DNR}} \right) \quad (3-12)$$

Nota-se que da expressão acima que para altos valores de DNR e $WNR_N > DNR$, resulta $\lambda_{opt} \approx 1$. Estas considerações fornecem a expressão aproximada de desempenho para ISS linear como descrito na Tabela 4.1. Repara-se ainda que para altos valores de DNR e $WNR_N < DNR$, resulta em $\lambda_{opt} \approx E_b/\sigma_x^2$.

3.3

Outras Técnicas

Outras importantes técnicas de marcação d'água digital binária são a modulação indexada por quantização (QIM) [4] e o esquema Costa escalar (SCS) [6], e as correspondentes técnicas variantes. Estas técnicas também utilizam o conhecimento do sinal hospedeiro na modulação para que, na detecção, a interferência do mesmo seja significativamente reduzida, podendo ser teoricamente eliminada. Como o desenvolvimento desta tese apoia-se essencialmente nas técnicas do tipo SS, ao leitor interessado no detalhamento das técnicas QIM e SCS é recomendado consultar as citadas referências. Na seção seguinte propõe-se novas técnicas de marcação, variantes das técnicas do tipo SS e ISS.

3.4

Modulação SS Unidimensional M-Ária

Até o momento, nossa discussão de técnicas de marcação d'água digital restringiu-se à modulação binária, onde um bit b da marca d'água (bit de informação) é empregado na marcação das N amostras do sinal \mathbf{x} . Quando uma maior taxa de marcação é pretendida, especialmente quando considera-se a operação com uma razão marca d'água-ruído elevada, o desempenho mais próximo à capacidade do canal é obtido através da modulação de um mesmo conjunto de N amostras do sinal \mathbf{x} com mais de um bit. Com este objetivo, é proposto a modulação SS unidimensional M -ária como

$$\mathbf{s} = \mathbf{x} + m\mathbf{u}, \quad (3-13)$$

onde $m \in \{\pm 1, \pm 3, \dots, \pm(M-1)\}$, M é o número de símbolos (níveis) disponíveis, e $\log_2(M)$ é a quantidade de bits de informação a serem uti-

lizados por marcação de N amostras de \mathbf{x} .

Cada símbolo introduz na marcação uma distorção média $D_s = E_s/N$, que também representa a potência da marca d'água, onde E_s é a energia média dos símbolos. A energia média do bit é $E_b = E_s/\log_2(M)$, e a sua contribuição para a distorção é $D_b = E_b/N$, que também representa a potência média do bit. Repare que a energia média do bit não é mais $N\sigma_u^2$, como no caso binário. Agora, a energia média do bit é dada por $E_b = \frac{M^2-1}{3\log_2(M)}N\sigma_u^2$, onde $N\sigma_u^2$ é a energia do vetor \mathbf{u} .

Na detecção, considerando a introdução do ruído do canal, a estatística suficiente normalizada correspondente é

$$r = \frac{\langle \mathbf{y}, \mathbf{u} \rangle}{\sigma_u^2} = m + x + n. \quad (3-14)$$

O correspondente problema de detecção é equivalente ao do problema M -ASK (Amplitude Shift Keying) de comunicação, onde podemos verificar na equação 3-14 a presença do sinal m formando um constelação colinear. Contudo, na detecção M -ASK normalmente considera-se somente a presença do ruído do canal. Assim, a equivalência deve ser entendida de forma que o ruído resultante é $x + n$, evidenciando a contribuição (interferência) do sinal hospedeiro no processo de detecção. Assim, como veremos em seguida, podemos derivar facilmente o desempenho para esta técnica, e a correspondente técnica otimizada, aplicando convenientemente a expressão de desempenho da modulação M -ASK [12]

$$p_e = \frac{M-1}{M} \operatorname{erfc} \left(\frac{d}{2\sqrt{N_0}} \right), \quad (3-15)$$

onde d representa a distância entre sinais consecutivos da constelação colinear da modulação M -ASK, e a potência total (resultante) do ruído gaussiano é $\sigma_{nt}^2 = N_0/2$.

Assim, podemos derivar o desempenho da técnica de modulação SS unidimensional M -ária considerando o ruído total (normalizado) interferindo na detecção como $(\sigma_n^2 + \sigma_x^2)/(N\sigma_u^2)$, e que $d = 2$. Desta forma, da equação 3-15, obtém-se o seguinte desempenho para a técnica de modulação SS

unidimensional M-ária:

$$p_e = \frac{M-1}{M} \operatorname{erfc} \left(\sqrt{\frac{3 \log_2(M)}{M^2-1} \frac{WNR_N}{2(1+DNR)}} \right). \quad (3-16)$$

3.5

Modulação SS Unidimensional M-Ária Otimizada

Utilizando abordagem semelhante a da técnica ISS binária, é possível reduzir a interferência do hospedeiro na detecção definindo a modulação como

$$\mathbf{s} = \mathbf{x} + (\alpha m - \lambda x)\mathbf{u}, \quad (3-17)$$

que representa a técnica ISS unidimensional M-ária. O parâmetro α , também é determinado de forma a manter a mesma distorção média, e é expresso por

$$\alpha = \sqrt{\frac{3}{M^2-1} \frac{(\frac{M^2-1}{3})N\sigma_u^2 - \lambda^2\sigma_x^2}{N\sigma_u^2}}. \quad (3-18)$$

Na detecção, considerando a introdução do ruído do canal, a estatística suficiente normalizada correspondente é

$$r = \langle \mathbf{y}, \mathbf{u} \rangle / \sigma_u^2 = \alpha m + (1-\lambda)x + n. \quad (3-19)$$

Assim, a potência total (normalizada) do ruído interferindo na detecção é

$$(\sigma_n^2 + (1-\lambda)^2\sigma_x^2)/(N\sigma_u^2),$$

e tem-se agora $d = 2\alpha$. Desta forma, da equação 3-15, o desempenho da técnica de modulação ISS unidimensional M-ária é

$$p_e = \frac{M-1}{M} \operatorname{erfc} \left(\sqrt{\frac{3}{2(M^2-1)} \frac{\log_2(M)WNR_N - \lambda^2DNR}{(1+(1-\lambda)^2DNR)}} \right). \quad (3-20)$$

A otimização do parâmetro λ para minimização da probabilidade de erro também é realizada da mesma forma como para a técnica ISS, e é

expresso como

$$\lambda_{opt} = \frac{1}{2} \left(1 + \frac{1}{DNR} + \frac{\log_2(M)WNR_N}{DNR} \right) - \frac{1}{2} \left(\sqrt{\left(1 + \frac{1}{DNR} + \frac{\log_2(M)WNR_N}{DNR} \right)^2 - 4 \frac{\log_2(M)WNR_N}{DNR}} \right). \quad (3-21)$$

Observar que para altos valores de DNR , λ_{opt} depende somente do valor $(E_b/\sigma_x^2) \log_2(M)$.

3.6

Modulação SS M-Ária Multidimensional

Em sistemas de comunicações, o desempenho da modulação M-ária pode ser melhorado utilizando modulação multidimensional, ao invés da unidimensional, como pode ser observado quando comparamos os desempenhos das modulações M -ASK e M -PSK [12]. Assim, nesta tese, naturalmente propõe-se uma nova técnica de marcação d'água tipo SS considerando a modulação multidimensional. Para simplificar nossa análise, somente o caso bidimensional 4-ária será considerado, mas a extensão para outros valores de M e para outras dimensões é direta, podendo inclusive aproveitar alguns resultados já alcançados em modelos equivalentes a determinados sistemas de comunicações. Em seguida descreve-se a técnica proposta.

Um gerador de vetores pseudo aleatório (PRV) fornece um vetor \mathbf{u}_1 , como para a modulação SS binária tradicional. Em seguida, um segundo vetor \mathbf{u}_2 é gerado tal que o mesmo seja ortogonal a \mathbf{u}_1 e $\|\mathbf{u}_2\| = \|\mathbf{u}_1\|$. A geração deste segundo vetor pode ser realizada com uma outra chave num PRV distinto, elevando o grau de segurança do sistema de marcação. Como exemplo, se $N = 3$, \mathbf{u}_1 pode ser selecionado de uma esfera de raio $\sqrt{N}\sigma_u$, e \mathbf{u}_2 pode ser selecionado de um círculo, com mesmo raio, pertencendo a um plano ortogonal a \mathbf{u}_1 na origem.

Vamos representar os quatro símbolos por um par de bits (b_1, b_2) , onde $b_i \in \{-1, 1\}$. Assim, estamos aptos a definir a modulação bidimensional como

$$\mathbf{s} = \mathbf{x} + b_1\mathbf{u}_1 + b_2\mathbf{u}_2. \quad (3-22)$$

Esta implementação específica de modulação bidimensional ortogonal 4-ária designa-se de marcação QSS (SS quaternária). Observe que a potência do símbolo é $D_s = 2\sigma_u^2$, e que a potência média do bit é $D_b = \sigma_u^2$. O ruído do canal (ataque) é o mesmo do modelo SS tradicional.

Na demodulação, a detecção é conduzida computando a estatística suficiente normalizada r_i para cada dimensão:

$$r_1 = \frac{\langle \mathbf{y}, \mathbf{u}_1 \rangle}{\sigma_u^2} = b_1 + x_1 + n_1 \quad (3-23)$$

e

$$r_2 = \frac{\langle \mathbf{y}, \mathbf{u}_2 \rangle}{\sigma_u^2} = b_2 + x_2 + n_2 \quad (3-24)$$

e estimando cada símbolo utilizado na marcação (par de bits) como

$$(\hat{b}_1, \hat{b}_2) = (\text{sign}(r_1), \text{sign}(r_2)) \quad (3-25)$$

onde $x_i = \langle \mathbf{x}, \mathbf{u}_i \rangle / \sigma_u^2$ e $n_i = \langle \mathbf{n}, \mathbf{u}_i \rangle / \sigma_u^2$.

O problema de detecção acima descrito é equivalente ao problema de detecção da modulação $QPSK$ da teoria dos sistemas de comunicações, onde o par (b_1, b_2) representa uma constelação quadrada de símbolos, e o ruído total resultante é composto pelas contribuições da interferência do hospedeiro e do ruído do canal (ataque). O desempenho da modulação $QPSK$ [12], com lado da constelação quadrada d , é

$$p_e = \text{erfc}\left(\frac{d}{2\sqrt{N_0}}\right) - \frac{1}{4} \left(\text{erfc}\left(\frac{d}{2\sqrt{N_0}}\right)\right)^2, \quad (3-26)$$

onde a potência do ruído gaussiano total (contribuições do hospedeiro e do canal) é, para cada dimensão, $\sigma_{nt}^2 = N_0/2$.

Assim, considerando $d = 2$, e a potência total (normalizada) do ruído interferindo na detecção

$$\sigma_{nt}^2 = (\sigma_n^2 + \sigma_x^2)/(N\sigma_u^2),$$

para cada dimensão, pode-se aplicar diretamente a Eq. 3-26 para obter

o desempenho da técnica de marcação QSS como

$$p_e = \operatorname{erfc} \left(\sqrt{WNR_N/2(1 + DNR)} \right) - \frac{1}{4} \left(\operatorname{erfc} \left(\sqrt{WNR_N/2(1 + DNR)} \right) \right)^2. \quad (3-27)$$

3.7

Modulação SS M-Ária Multidimensional Otimizada

Utilizando abordagem semelhante a da técnica ISS binária, é possível reduzir a interferência do hospedeiro na detecção definindo a modulação como

$$\mathbf{s} = \mathbf{x} + (\alpha_1 b_1 - \lambda_1 x_1) \mathbf{u}_1 + (\alpha_2 b_2 - \lambda_2 x_2) \mathbf{u}_2, \quad (3-28)$$

que representa a técnica QSS otimizada (IQSS). Os parâmetros α_i , são também determinados de forma a manter a mesma distorção média introduzida pela marcação, e ambos os parâmetros são igualmente expressos pela equação 3-10.

Na detecção, considerando a introdução do ruído do canal, a estatística suficiente normalizada correspondente é

$$r_i = \frac{\langle \mathbf{y}, \mathbf{u}_i \rangle}{\sigma_u^2} = \alpha_i b_i + (1 - \lambda_i) x_i + n_i. \quad (3-29)$$

Assim, a potência total (normalizada) do ruído interferente na detecção é

$$(\sigma_n^2 + (1 - \lambda)^2 \sigma_x^2) / (N \sigma_u^2),$$

para cada dimensão, e tem-se agora $d = 2\alpha$. Desta forma, pode-se aplicar diretamente a equação 3-26, e o desempenho otimizado da técnica de modulação IQSS é determinado como

$$p_e = \operatorname{erfc} \left(\sqrt{\frac{(WNR_N - \lambda_{opt}^2 DNR)}{2(1 + (1 - \lambda_{opt})^2 DNR)}}} \right) - \frac{1}{4} \left(\operatorname{erfc} \left(\sqrt{\frac{(WNR_N - \lambda_{opt}^2 DNR)}{2(1 + (1 - \lambda_{opt})^2 DNR)}}} \right) \right)^2, \quad (3-30)$$

onde λ_{opt} é o valor ótimo para os parâmetros λ_i (para a minimização de p_e) e ambos são igualmente expressos pela equação 3-12.

3.8 Comentários

A investigação futura de outras técnicas de marcação possuindo constelações de sinais com equivalência de detecção a conhecidos modelos de modulação/demodulação em sistemas de comunicação é de interesse. Ainda, a facilidade em operar com dimensões maiores no problema de marcação d'água, possibilita otimizar as técnicas tradicionais no plano bidimensional usualmente empregadas em sistemas de comunicação. Por exemplo, caso venhamos a operar com três dimensões, e com uma técnica quaternária (quatro símbolos), a constelação de sinais formando um tetraedro fornece um desempenho superior a constelação quadrática no plano bidimensional (QPSK).